



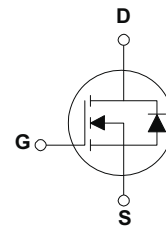
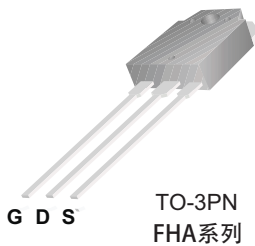
# FHA20N50

## 产品描述

20N50为N沟道增强型高压功率场效应管。该产品广泛适用于DC-AC电源转换器，DC-DC电源转换器，高压H桥PMW马达驱动。

## 产品特点

20A, 500V,  $R_{DS(on)} = 0.3 \Omega$  (max) @  $V_{GS} = 10 V$   
 低电荷、低反向传输电容  
 开关速度快



## 极限值 (TC=25°C)

参数名称	符号	FHA20N50	单位
漏-源电压	$V_{DS}$	500	V
漏极直流电流	$I_D$	20	A
漏极直流电流@ $T_C=100^\circ C$		13	A
最大脉冲漏极电流	$I_{DM}$	80	A
栅-源电压	$V_{GS}$	$\pm 30$	V
耗散功率	$P_D$	388	W
超过25°C时的降额因子		3.1	W/°C
结温和存储温度	$T_J, T_{stg}$	150, -55~150	°C
最高焊接温度	$T_L$	300	°C
单脉冲雪崩击穿能量	$E_{AS}$	1100	mJ
重复脉冲雪崩击穿能量	$E_{AR}$	25	mJ
雪崩电流	$I_{AR}$	20	A
二极管反向恢复峰值dv/dt	dv/dt	4.5	V/ns

## 特性参数值 (TC=25° C)

参数说明	符号	测试条件	最小值	典型值	最大值	单位
漏-源击穿电压	$BV_{DSS}$	$V_{GS}=0V, I_D=250\mu A$	500	--	--	V
电压温度系数	$\Delta BV_{DSS}/\Delta T_J$	$I_D=250\mu A$ , 参考25°C	--	0.7	--	V/°C
漏源截止电流	$I_{DSS}$	$V_{DS}=500V, V_{GS}=0V$	--	--	1	$\mu A$
栅源截止电流	$I_{GSS(F/R)}$	$V_{GS}=\pm 30V, V_{DS}=0V$	--	--	$\pm 100$	nA
通态电阻	$R_{DS(ON)}$	$V_{GS}=10V, I_D=10A$	--	--	0.3	$\Omega$
栅源极开启电压	$V_{GS(th)}$	$V_{DS}=V_{GS}, I_D=250\mu A$	3.0		5.0	V
跨 导	$g_{FS}$	$I_D=10A, V_{DS}=40V$	--	25	--	S

## 开关特性

参数说明	符号	测试条件	最小值	典型值	最大值	单位
栅极电荷	$Q_g$	$V_{DS}=400V$ $I_D=13A$ $V_{GS}=10V$	--	50	65	nC
栅源电荷	$Q_{gs}$		--	14	--	nC
栅漏电荷	$Q_{gd}$		--	20	--	nC
延迟时间(开启)	$T_d(on)$	$V_{DD}=250V$ $I_D=13A$ $R_G=25\Omega$	--	45	100	ns
上升时间	$T_r$		--	120	250	ns
延迟时间	$T_d(off)$		--	100	210	ns
下降时间	$T_f$		--	60	130	ns

## 动态特性

参数说明	符号	测试条件	最小值	典型值	最大值	单位
输入电容	$C_{iss}$	$V_{DS}=25V, V_{GS}=0V, f=1.0MHz$	--	2550	3390	pF
输出电容	$C_{oss}$	$V_{DS}=25V, V_{GS}=0V, f=1.0MHz$	--	350	465	pF
反向传输电容	$C_{rss}$	$V_{DS}=25V, V_{GS}=0V, f=1.0MHz$	--	27	40	pF

## 漏-源二极管特性

参数说明	符号	测试条件	最小值	典型值	最大值	单位
源极电流	$I_S$	--	--	--	20	A
源漏二极管正向压降	$V_{SD}$	$V_{GS}=0V, I_S=20A$	--	--	1.4	V
反向恢复时间	$t_{rr}$	$V_{GS}=0V, I_S=20A$	--	154	--	ns
反向恢复电荷	$Q_{rr}$	$di/dt=100A/us$	--	0.5	--	$\mu C$

## 热阻特性

参数说明	符号	最大值	单位
结到壳的热阻	$R_{\theta JC}$	0.44	$^{\circ}C/W$
结到环境的热阻	$R_{\theta JA}$	40	$^{\circ}C/W$

声明:

1. 飞虹保留规格书的更改权，恕不另行通知！客户在下单前应获取最新版本资料，并验证相关信息是否完整和最新。
2. 产品提升永无止境，我公司将竭诚为客户提供更优秀的产品！

# 典型特性曲线

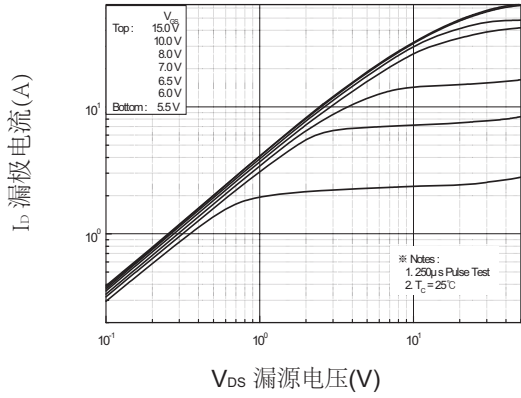


图1. 通态特性

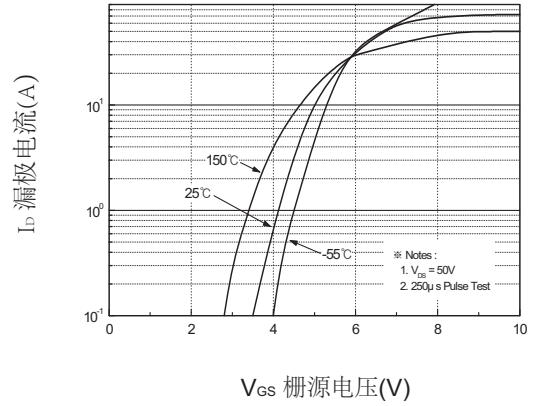


图2. 变化特性

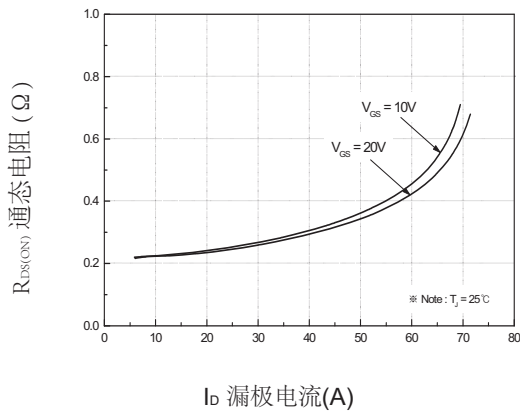


图3. 通态电阻与漏极电流和栅极电压的关系

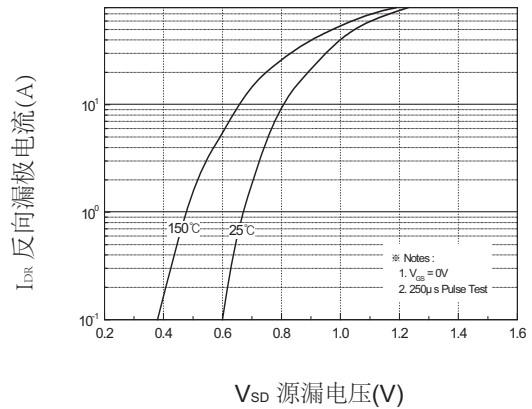


图4. 二极管正向压降与源极电流和温度的关系

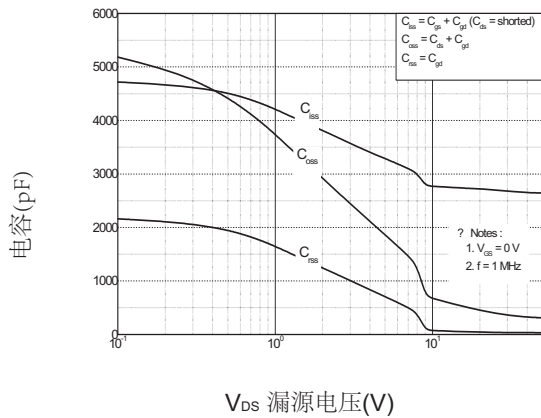


图5. 电容特性

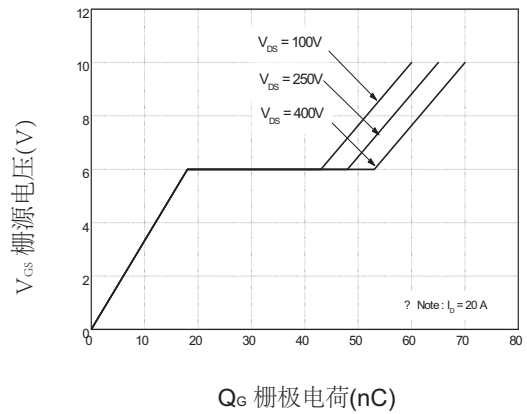


图6. 栅极电荷特性

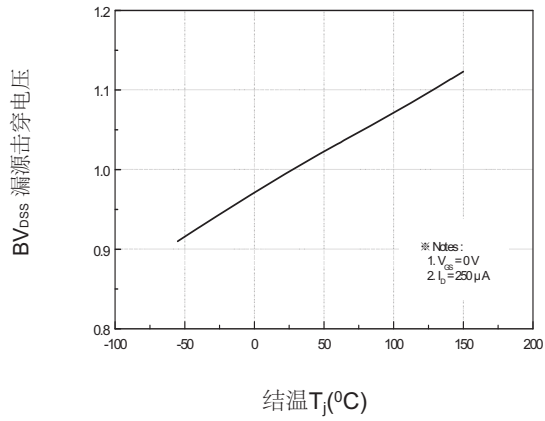


图7 击穿电压变化曲线

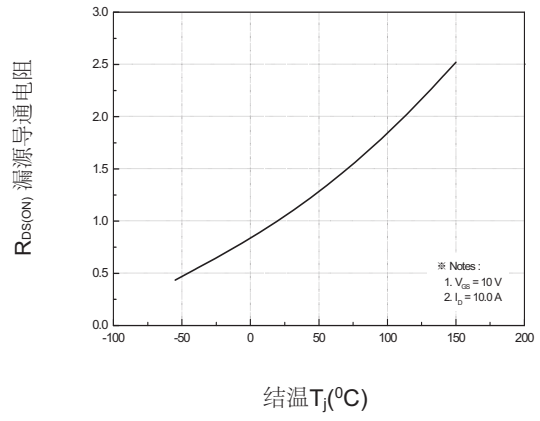


图8 通态电阻变化曲线

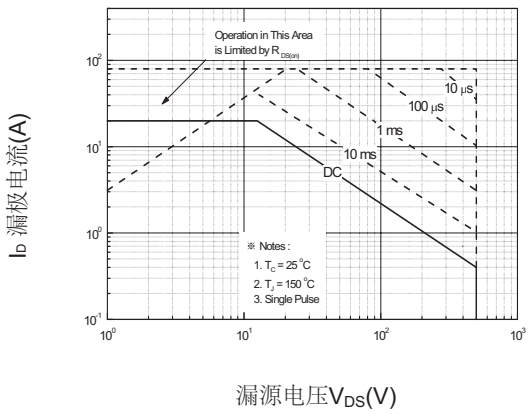


图9. 最大安全使用范围

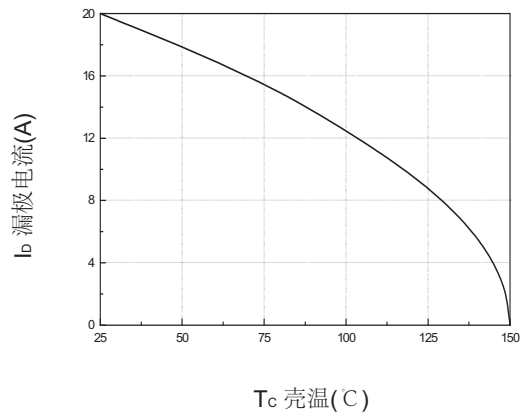


图10. 最大漏极电流与壳温的关系

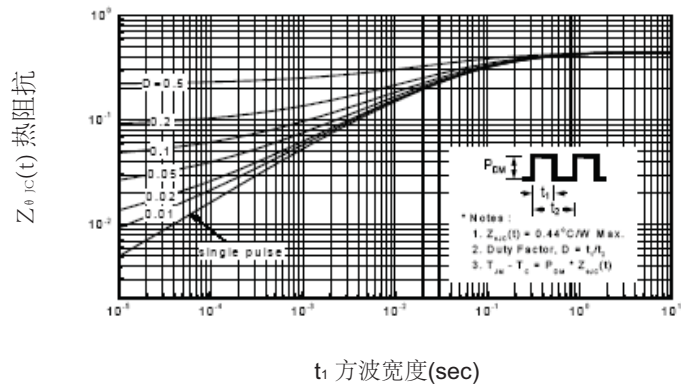
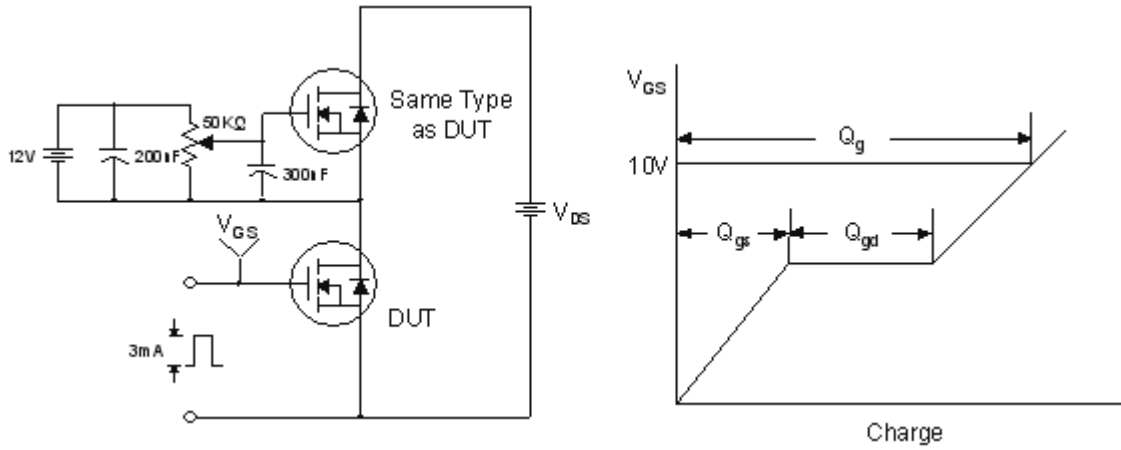
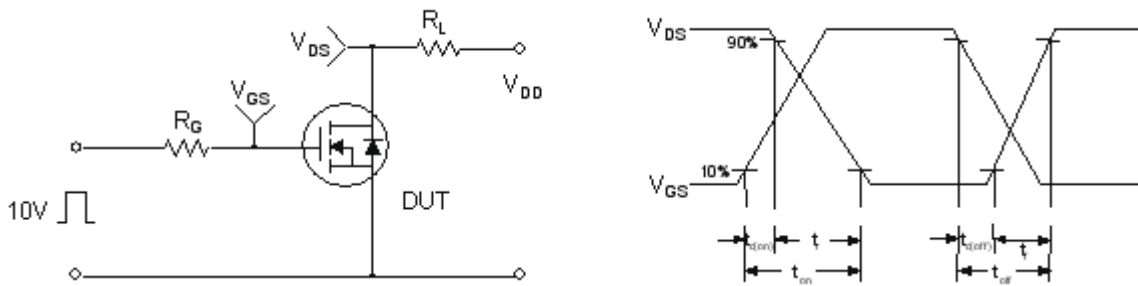


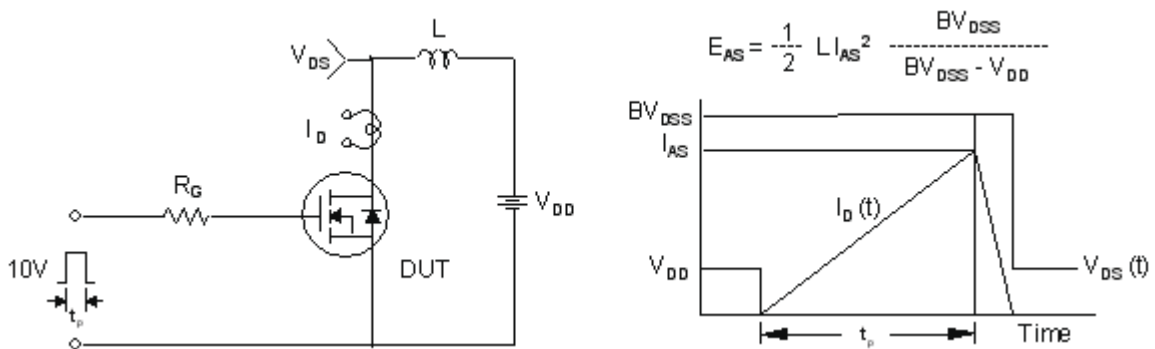
图11. 热阻抗变化曲线



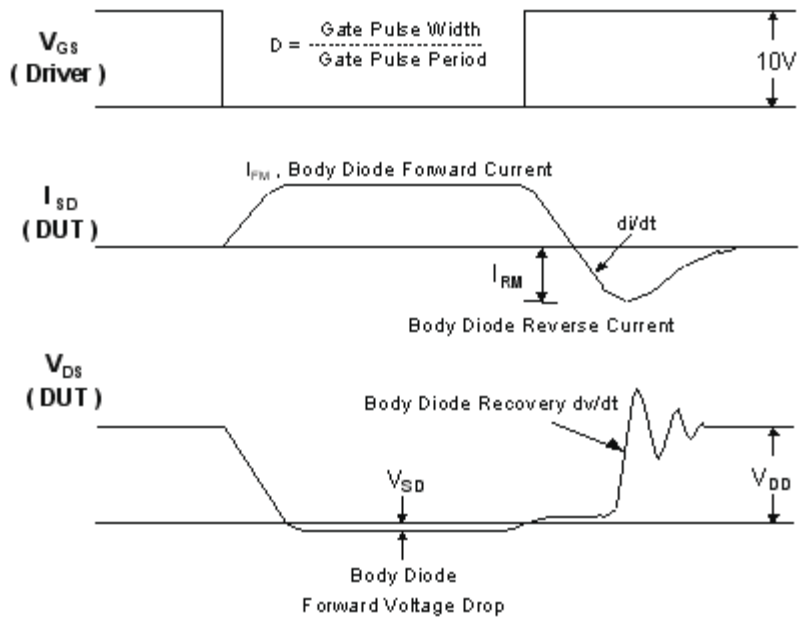
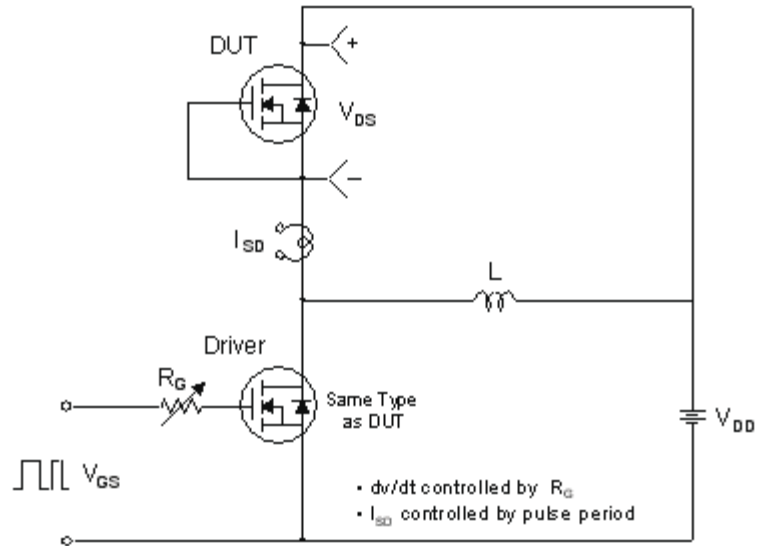
栅极电荷测试电路和波形



开关测试电路和波形



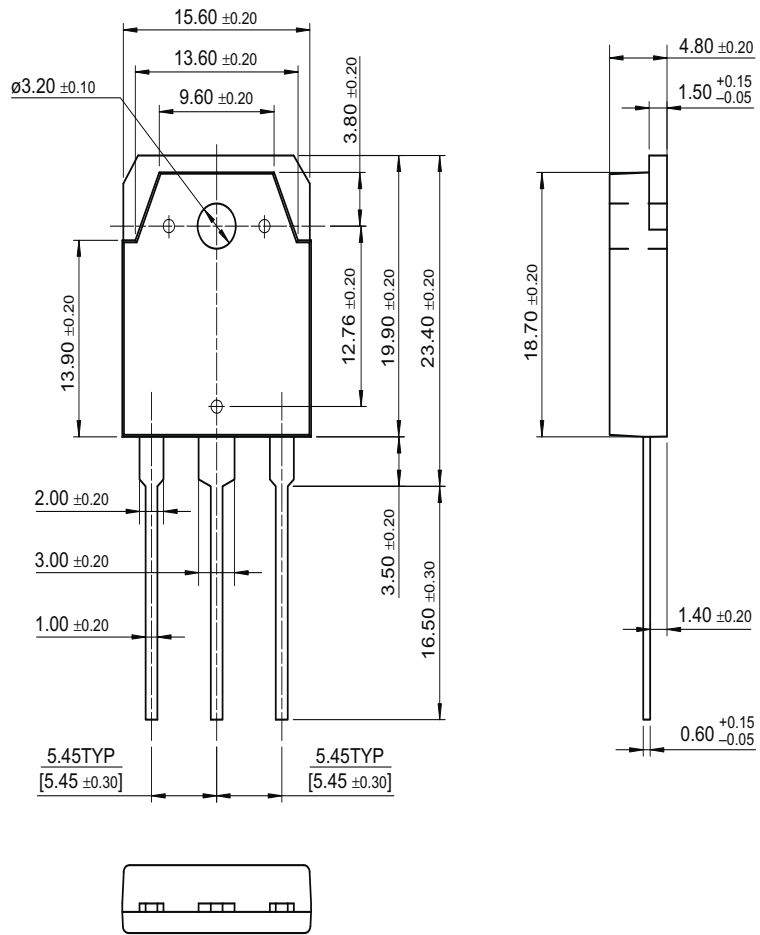
无限制电感,开关测试电路和波形



二极管反向恢复  $dv/dt$  测试电路和波形

外型尺寸

TO-3PN



尺寸单位:毫米